ЛР №2 «Переходные процессы, свободное движение, устойчивость»

Отчет

Студент Кирилл Лалаянц R33352 336700 Вариант - 6

Преподаватель Пашенко А.В.

Факультет Систем Управления и Робототехники

ИТМО

Содержание

1	Вводные данные			1	
	1.1	1 Цель работы			
	1.2	Иниці	иализация необходимых переменных в Python	1	
2	Выполнение работы			2	
	2.1	Задание 1. Свободное движение		2	
		2.1.1	Теория	2	
		2.1.2	Программная реализация	2	
		2.1.3	Результаты	3	
	2.2 Задание 2. Область устойчивости		Задан	пие 2. Область устойчивости.	6
		2.2.1	Теория	6	
		2.2.2	Результаты	8	
	2.3	Задание 3. Автономный генератор.		10	
		2.3.1	Теория	10	
		2.3.2	Программная реализация	11	
		2.3.3	Результаты	12	
				ие 4. (Необязательное) Изучение канонической управляемой ы: фазовые портреты	13
		форм. 2.4.1	Теория	13	
		2.4.1			
			Программная реализация	13	
		2.4.3	Результаты	14	
3	Заключение			15	
	3.1	.1 Выволы			

1 Вводные данные

1.1 Цель работы

В этой работе будет проведенно исследование следующих вопросов:

- Характер свободного поведения системы в зависимости от корней ее характеристического уравнения.
- Исследования границ зоны устойчивости конкретной системы.
- Создание автономного генератора для воссаздания поведения системы.
- Изучение фазовых портретов канонической управляемой формы.

1.2 Инициализация необходимых переменных в Python

Импорт необходимых библиотек (для реализации здесь и далее используется Python Control Systems Library); инициализация массива временных отметок:

```
import matplotlib.pyplot as plt
import numpy as np
import control
import sympy
import os
import os
import math
```

- 2 Выполнение работы
- 2.1 Задание 1. Свободное движение.

2.1.1 Теория

Хотим получить ДУ системы вида:

$$\ddot{y} + a_1 \dot{y} + a_0 y = u$$

Сначала получим характеристическое уравнение для частного решения вида:

$$\ddot{y} + a_1\dot{y} + a_0y = 0$$

Имеем два корня – λ_1 и λ_2 . Тогда:

$$(p - \lambda_1)(p - \lambda_2) = p^2 - (\lambda_1 + \lambda_2)p + \lambda_1\lambda_2 = 0,$$

умножив которое на у получаем:

$$\ddot{y} - (\lambda_1 + \lambda_2)\dot{y} + \lambda_1\lambda_2 y = 0.$$

Для данного ДУ известно частичное решение:

$$y_0(t) = c_1 e^{\lambda_1 t} + c_2 e^{\lambda_2 t},$$

параметры c_1 и c_2 которого вычисляются из начальных условий.

Также подставим характеристическое уравнение в знаменатель TF W(p):

$$W(p) = \frac{1}{p^2 - (\lambda_1 + \lambda_2)p + \lambda_1 \lambda_2}$$

Полученная TF соотвествует системе с желаемыми корнями характеристического уравнения.

2.1.2 Программная реализация

```
def task1_output(m1, m2, initial_value, ts, plot_name, save_name):
    poly = sympy.simplify((p - m1) * (p - m2))
    coeffs = sympy.Poly(poly, p).all_coeffs()

ss = control.tf2ss(control.tf(1, np.array(coeffs, dtype=np.float64)))
    ss_reachable = control.canonical_form(ss, form="reachable")[0]

tf2_y_0_0 = control.forced_response(ss_reachable, U=0, X0=[0, 0], T=ts)
    tf2_y_1_1 = control.forced_response(ss_reachable, U=0, X0=initial_value, T=ts)
    plot_task1(tf2_y_0_0, tf2_y_1_1, initial_value, ts, plot_name, save_name)
```

2.1.3 Результаты

• Устойчивая и неустойчивая апереодические моды Выбраны $\lambda_1 = -1$ и $\lambda_2 = 1$. Получено уравнение свободного движения вида:

$$y_0(t) = c_1 e^{-t} + c_2 e^t$$

Из аналитического решения видно, что система, при отличных от 0 начальных условиях, со временем стремится к бесконечности, следовательно – неустойчива.

Проверим моделированием:

y = y(t) $y = \dot{y}(t)$ $\dot{y} = \dot{y}(t)$ Начальные условия $\dot{y} = \dot{y}(0) = 0$ $\dot{y}(0) = 0$ $\dot{y}(0) = 0.15$ $\dot{y} = \dot{y}(0) = 0.15$ $\dot{y} = \dot{y}(0) = 0.15$ $\dot{y} = \dot{y}(0) = 0.15$

Задание 1. Свободное движение. Устойчивая и неустойчивая апериодические моды (-1, 1).

Рис. 1: Результаты устойчивой и неустойчивой апереодических мод.

Действительно, все так.

• Нейтральная и неустойчивая апереодические моды Выбраны $\lambda_1=0$ и $\lambda_2=1$. Получено уравнение свободного движения вида:

$$y_0(t) = c_1 e^{-t} + c_2$$

Из аналитического решения видно, что система, при отличных от 0 начальных условиях, со временем стремится к бесконечности, следовательно – неустойчива.

Проверим моделированием:

y = y(t) $y = \dot{y}(t)$ Начальные условия y(0) = 0 y(0) = 0 y(0) = 0.15 y(0) = 0 y(0) = 0.15 y(0) = 0 y(0

Задание 1. Свободное движение. Нейтральная и неустойчивая апериодические моды (0, 1).

Рис. 2: Результаты нейтральной и неустойчивой апереодических мод.

Действительно, все так.

• Пара консервативных мод

Выбраны $\lambda_1=i$ и $\lambda_2=-i$. Получено уравнение свободного движения вида:

$$y_0(t) = c_1 cos(t) + c_2 sin(t)$$

Из аналитического решения видно, что система, при отличных от 0 начальных условиях, устойчива по Ляпунову.

Проверим моделированием:

Задание 1. Свободное движение. Пара консервативных мод (-I, I). $y = y(t) \qquad \qquad \dot{y} = \dot{y}(t)$ Начальные условия — $\dot{y}(0) = 0$ — $\dot{y}(0) = 0.15$. \dot{x}

Рис. 3: Результаты пары консервативных мод.

Действительно, все так.

2.2 Задание 2. Область устойчивости.

2.2.1 Теория

Возьмем первый набор корней из первого задания $\lambda_1 = -1$ и $\lambda_2 = 1$. Представим соответсвующие им TF вида:

$$W(p) = \frac{1}{Tp+1}$$

Получаем:

$$W_1(p) = \frac{1}{T_1p+1} = \frac{1}{-1T_1+1} \to T1 = 1$$

 $W_2(p) = \frac{1}{T_2p+1} = \frac{1}{1T_2+1} \to T2 = -1$

Так же по заданию имеем:

$$W_3(p) = \frac{1}{p}$$

$$W_4(p) = K$$

$$W_{feedback}(p) = -1$$

Тогда получаем общую TF системы:

$$W(p) = \frac{W_1(p)W_2(p)W_3(p)W_4(p)}{1 + W_1(p)W_2(p)W_3(p)W_4(p)} = \frac{K}{T_1T_2p^3 + (T_1 + T_2)p^2 + p + K}$$

Для анализа устойчивости воспользуемся следствием из критерия Гурвица для однородного ДУ третьего порядка:

$$\begin{cases} \frac{K}{T_1 T_2} > 0 \\ \frac{T_1 + T_2}{T_1 T_2} > 0 \\ \frac{K}{T_1 T_2} > 0 \\ \frac{T_1 + T_2}{(T_1 T_2)^2} > \frac{K}{T_1 T_2} \end{cases},$$

• Зафиксируем значение $T_2 = -1$ Тогда система принимает вид:

$$\begin{cases} \frac{K}{T_1(-1)} > 0 \\ \frac{T_1 + (-1)}{T_1(-1)} > 0 \\ \frac{K}{T_1(-1)} > 0 \\ \frac{T_1 + (-1)}{(T_1(-1))^2} > \frac{K}{T_1(-1)} \end{cases},$$

решений у неё нет. Следовательно, система не может быть устойчивой с таким параметром T_2 .

• Зафиксируем значение $T_1 = 1$ Тогда система принимает вид:

$$\begin{cases} \frac{K}{T_2} > 0 \\ \frac{T_2 + 1}{T_2} > 0 \\ \frac{K}{T_2} > 0 \\ \frac{T_2 + 1}{T_2^2} > \frac{K}{T_2} \end{cases}$$

у нее есть решения, представленные на графике ниже.

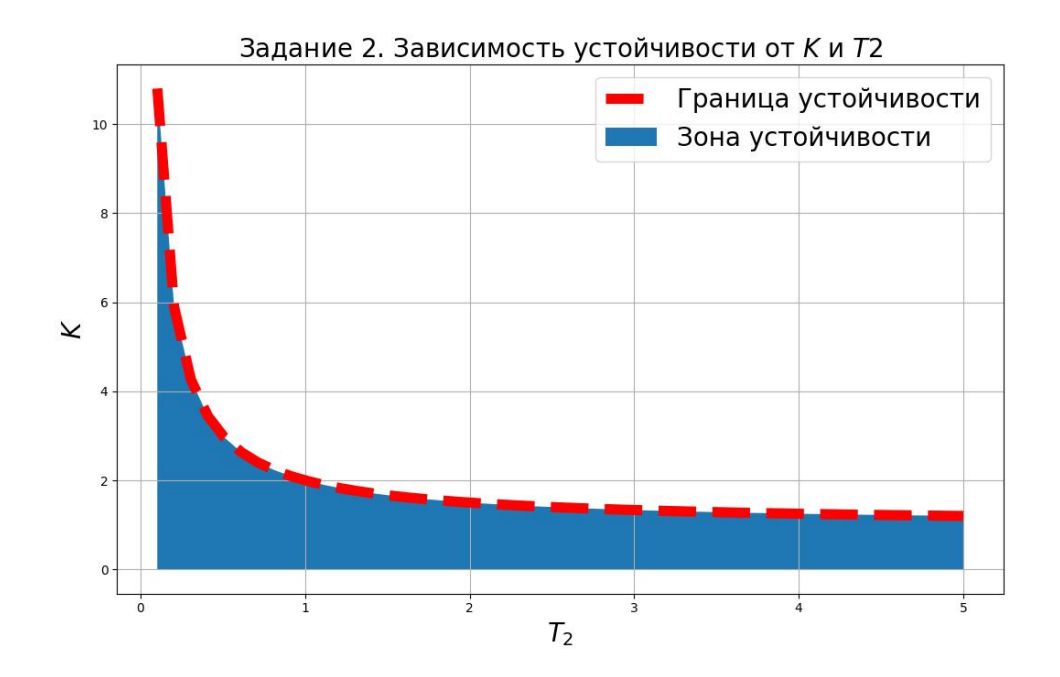


Рис. 4: Зависимость устойчивости от K и T_2 при $T_1=1$.

2.2.2 Результаты

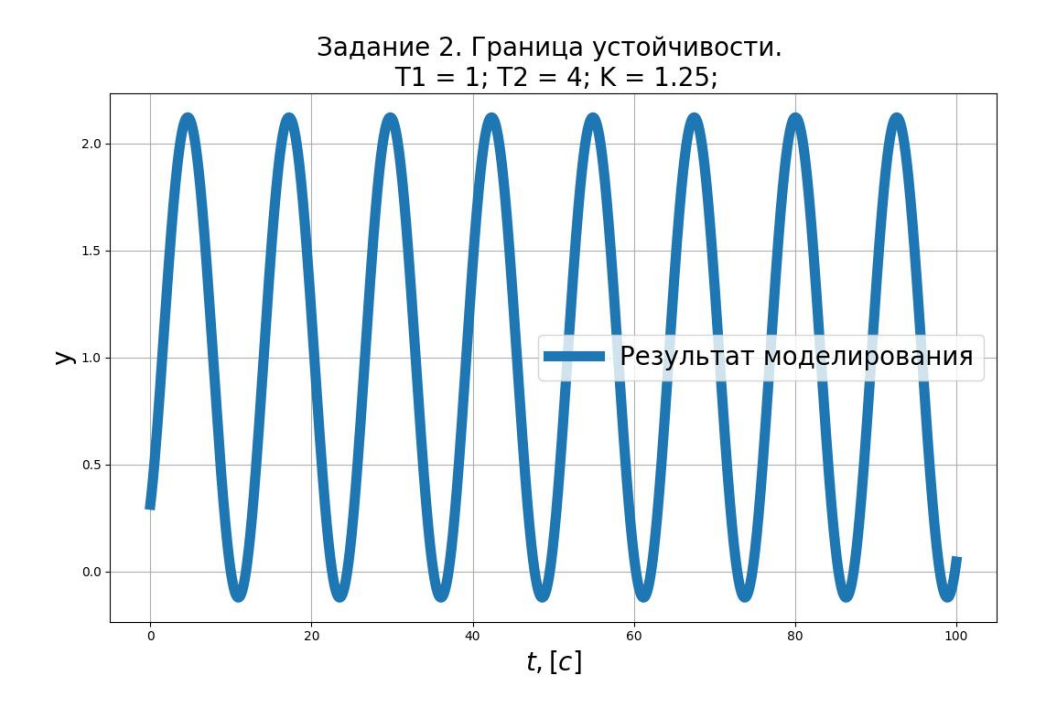


Рис. 5: Устойчивые по Ляпунову параметры.

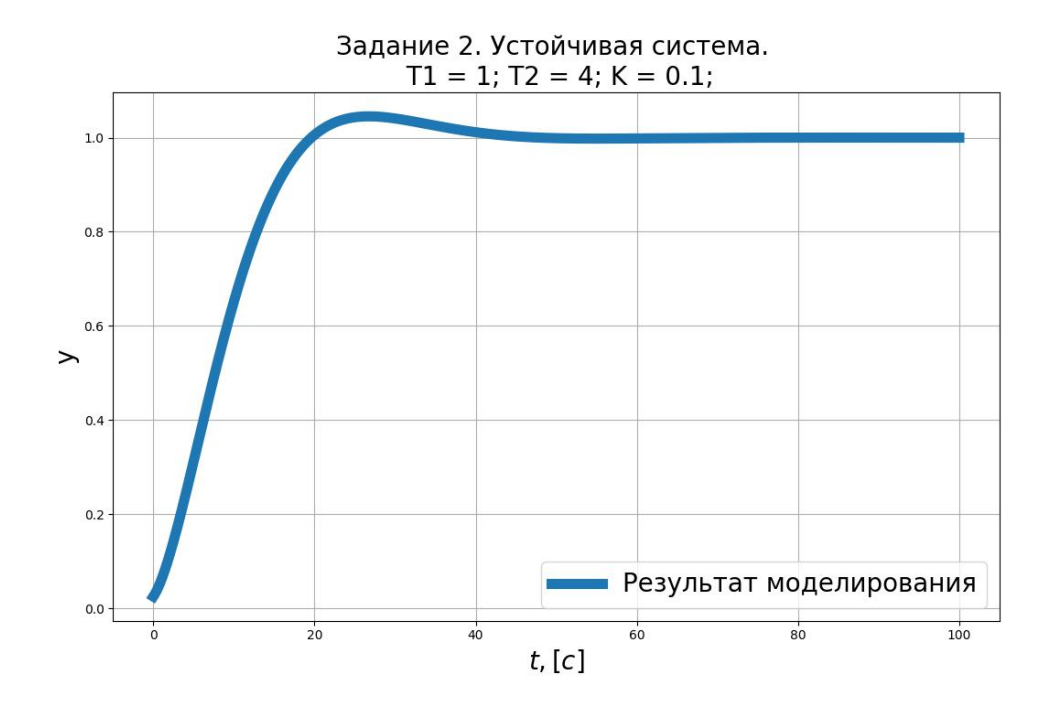


Рис. 6: Устойчивые ассимптотически параметры.

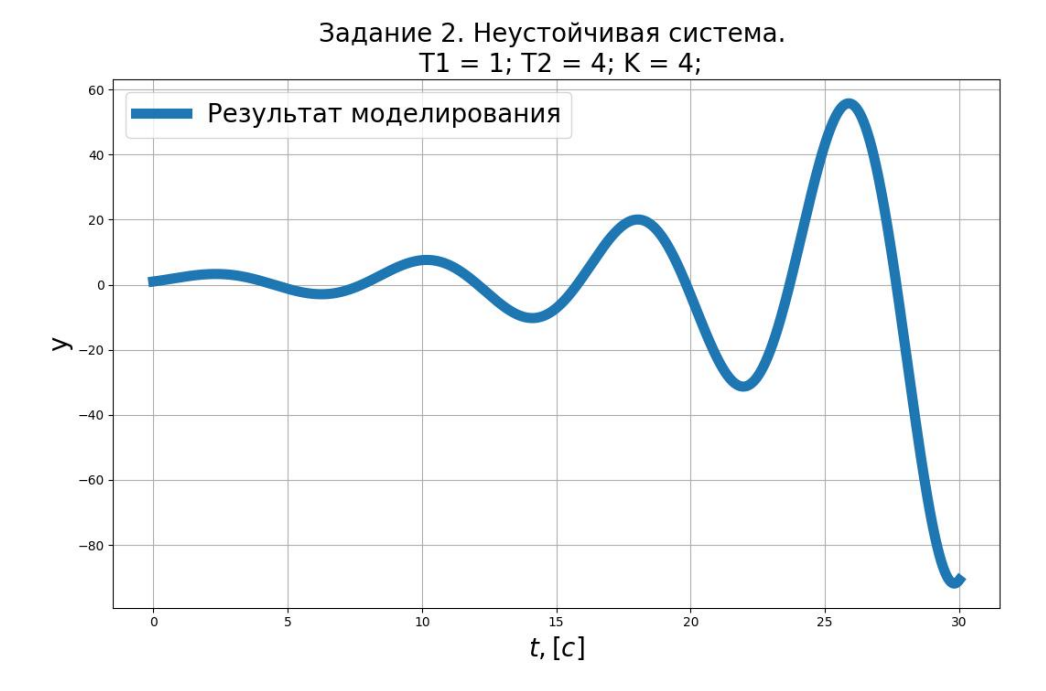


Рис. 7: Неустойчивые параметры.

По приведенным выше графикам видно, что полученная зона устойчивости соответсвует действительности.

2.3 Задание 3. Автономный генератор.

2.3.1 Теория

Необходимо найти матрицы A и C такие, чтобы выход системы совпадал с функцией:

$$y(t) = \cos(5t) + e^t + e^{-5t}$$

Из функции ясно видно, что модами будут: $\lambda_1=1; \lambda_2=-5; \lambda_3=5i; \lambda_4=-5i.$

Запишем в вещественной жордановой форме:

$$A = \begin{bmatrix} 1 & 0 & 0 & 0 \\ 0 & -5 & 0 & 0 \\ 0 & 0 & 0 & 5 \\ 0 & 0 & -5 & 0 \end{bmatrix},$$

Известно, что:

$$x_0(t) = e^{At}x(0)$$

$$y_0(t) = Ce^{At}x(0)$$

Вычислим матричную экспоненту

$$e^{At} = \begin{bmatrix} 1 & 0 & 0 & 0 \\ 0 & 1 & 0 & 0 \\ 0 & 0 & 1 & 0 \\ 0 & 0 & 0 & 1 \end{bmatrix} + \begin{bmatrix} t & 0 & 0 & 0 \\ 0 & -5t & 0 & 0 \\ 0 & 0 & 0 & 5t \\ 0 & 0 & -5t & 0 \end{bmatrix} + \begin{bmatrix} t^2/2 & 0 & 0 & 0 \\ 0 & 25t^2/2 & 0 & 0 \\ 0 & 0 & -25t^2/2 & 0 \\ 0 & 0 & 0 & -25t^2/2 \end{bmatrix} + \dots;$$

После чего заметно, что результатами сложения отдельных ячеек являются ряды Тейлора, откуда получаем:

$$e^{At} = \begin{bmatrix} e^t & 0 & 0 & 0\\ 0 & e^{-5t} & 0 & 0\\ 0 & 0 & \cos(5t) & \sin(5t)\\ 0 & 0 & -\sin(5t) & \cos(5t) \end{bmatrix}$$

Зададим вектор начальных условий и матрицу C:

$$x(0) = \begin{bmatrix} a_1 \\ a_2 \\ a_3 \\ a_4 \end{bmatrix}, C = \begin{bmatrix} c_1 \\ c_2 \\ c_3 \\ c_4 \end{bmatrix};$$

тогда:

$$y_0(t) = Ce^{At}x(0) = a_1c_1e^t + a_2c_2e^{-5t} + (a_3c_3 + a_4c_4)\cos(5t) + (-a_3c_4 + a_4c_3)\sin(5t)$$

Отсюда, сопоставив с исходной функцией, получаем систему уравнений:

$$\begin{cases} a_1c_1 = 1 \\ a_2c_2 = 1 \\ a_3c_3 + a_4c_4 = 1 \\ -a_3c_4 + a_4c_3 = 0 \end{cases},$$

Мы можем самостоятельно выбрать любой вектор начальных условий, что сводит систему уравнений к системе из 4 уравнений с 4 неизвестными, после чего получаем:

$$x(0) = \begin{bmatrix} 1 \\ 1 \\ 1 \\ 1 \end{bmatrix}, C = \begin{bmatrix} 1 \\ 1 \\ 0.5 \\ 0.5 \end{bmatrix}, A = \begin{bmatrix} 1 & 0 & 0 & 0 \\ 0 & -5 & 0 & 0 \\ 0 & 0 & 0 & 5 \\ 0 & 0 & -5 & 0 \end{bmatrix};$$

2.3.2 Программная реализация

```
1 task3_ss = control.ss(task3_A, np.zeros((4, 1)), task3_C, 0)
```

² ss_response = control.forced_response(task3_ss, ts, X0=task3_initial)

2.3.3 Результаты

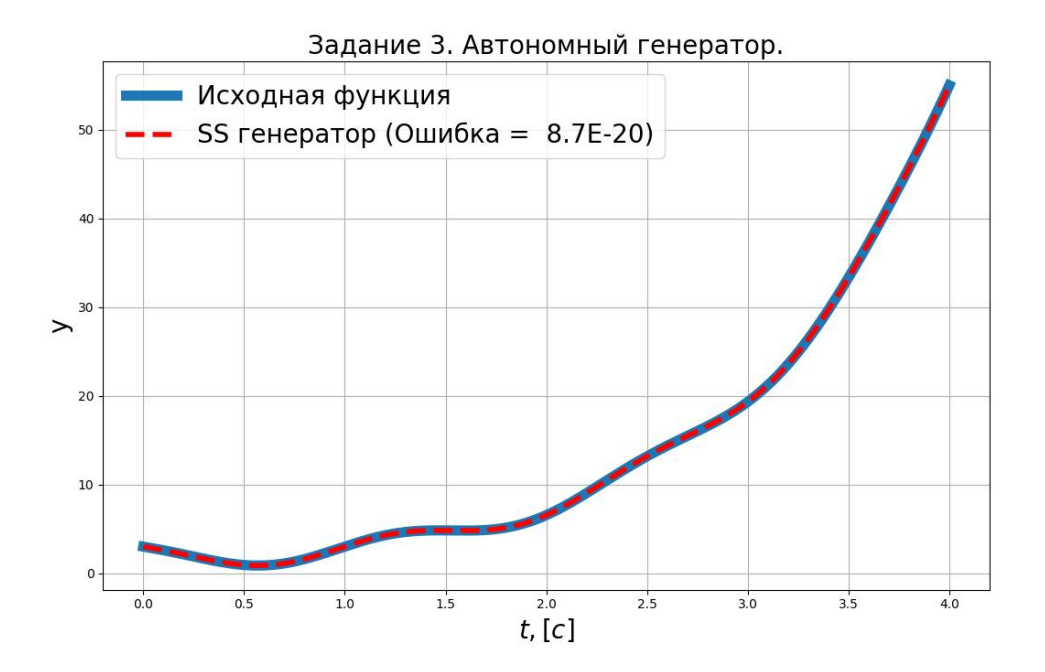


Рис. 8: Результаты третьего задания.

По графику видно, что генератор совпал с исходной функцией. В легедне указана получившаяся квадратичная ошибка, которая очень мала и просто является погрешностью вычисленний Python3.

2.4 Задание 4. (Необязательное) Изучение канонической управляемой формы: фазовые портреты.

2.4.1 Теория

Рассмотрим фазовый портрет системы 3 из первого задания.

$$\ddot{y} + y = 0$$

Её TF имеет вид:

$$W(p) = \frac{1}{p^2 + 1}$$

В форме SS имеет вид:

$$A = \begin{bmatrix} 0 & 1 \\ -1 & 0 \end{bmatrix}, C = \begin{bmatrix} 1 & 0 \end{bmatrix}, B = D = 0;$$

2.4.2 Программная реализация

```
1 def task4_output(m1, m2, initial_values, ts):
      plot_name = f'Moды: {m1, m2}'
      save_name = f'task4_{m1}_{m2}.jpg'
      poly = sympy.simplify((p - m1) * (p - m2))
      coeffs = sympy.Poly(poly, p).all_coeffs()
      tf_y = control.tf(1, np.array(coeffs, dtype=np.float64))
      tf_dy = tf_y * control.tf([1, 0], [1])
      ss = control.tf2ss(tf_dy)
      ss_reachable = control.canonical_form(ss, form="reachable")[0]
10
      ss = control.tf2ss(tf_y)
11
      ss_reachable = control.canonical_form(ss, form="reachable")[0]
13
      responses = []
14
      for initial_value in initial_values:
15
          tf_y_response = control.forced_response(tf_y, U=0, X0=initial_value, T=ts)
16
          tf_dy_response = control.forced_response(tf_dy, U=0, X0=initial_value, T=ts)
17
          ss_response = control.forced_response(ss_reachable, U=0, X0=initial_value, T=ts)
18
          responses.append([initial_value, tf_y_response, tf_dy_response, ss_response])
19
20
      task4_plot(responses, plot_name, save_name)
```

2.4.3 Результаты

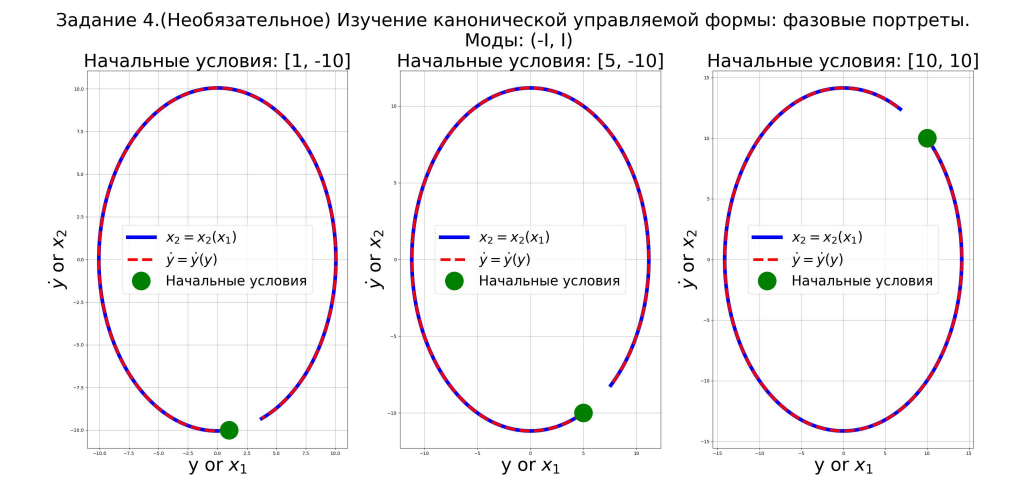


Рис. 9: Результаты четвертого задания.

Полученные графики совпали, что в целом ожидаемо, потому что вектор состояния для системы второго порядка из себя и представляет \dot{y} и y.

3 Заключение

В этой работе было проведенно исследование следующих вопросов:

- Характер свободного поведения системы в зависимости от корней ее характеристического уравнения.
- Исследования границ зоны устойчивости конкретной системы.
- Создание автономного генератора для воссаздания поведения системы.
- Изучение фазовых портретов канонической управляемой формы.

3.1 Выводы

- 1. Проведено моделирование свободное движение систем с различным ненулевым входным воздействием.
- 2. На практике проверенно влияние мод на характер поведения системы.
- 3. На практике проверенна верность работы критерия Гурвица.
- 4. Создан генератор для воссоздания поведения функции.
- 5. Рассмотренно фазовые диаграмы системы. Проверенно, что вектор состояния соответсвует y и его производным.